

Two-Layer Realizable k - ε 난류모델 개발

길재흥

넥스트폼

realizable k - ε 난류 모델

- 지배방정식

- k -equation

$$\frac{\partial(\rho k)}{\partial t} \nabla \cdot (\rho \vec{U} k) - \nabla \cdot \left\{ \left(\mu + \frac{\mu_t}{\sigma_k} \right) \nabla k \right\} = G_k - \rho \varepsilon \quad (1)$$

- ε -equation

- Realizable k - ε 모델은 standard k - ε 모델과 ε -equation의 생성항이 다름

$$\frac{\partial(\rho \varepsilon)}{\partial t} \nabla \cdot (\rho \vec{U} \varepsilon) - \nabla \cdot \left\{ \left(\mu + \frac{\mu_t}{\sigma_\varepsilon} \right) \nabla \varepsilon \right\} = \rho C_1 S \varepsilon - \rho C_2 \frac{\varepsilon^2}{k + \sqrt{\nu \varepsilon}} \quad (2)$$

- 생성항 Coefficients

$$\sigma_k = 1.0, \sigma_\varepsilon = 1.2$$

$$C_1 = \max \left[0.43, \frac{\eta}{\eta + 5} \right], \quad \eta = S \frac{k}{\varepsilon}, \quad S = \sqrt{2 S_{ij} S_{ij}}$$

$$C_2 = 1.9$$

realizable k - ε 난류 모델

- 난류점성계수
 - Model equation

$$\mu_t = \rho C_\mu \frac{k^2}{\varepsilon} \quad (3)$$

- C_μ

- Standard k - ε 모델과 난류점성계수의 정의는 같지만 C_μ 의 정의가 다음과 같이 다름

$$C_\mu = \frac{1}{A_0 + A_S \frac{kU^*}{\varepsilon}} \quad (4)$$

- C_μ Coefficients

$$A_0 = 4.04$$

$$A_S = \sqrt{6} \cos \varphi, \quad \varphi = \frac{1}{3} \cos^{-1}(\sqrt{6}W), \quad W = \frac{S_{ij}S_{jk}S_{ki}}{\tilde{\varepsilon}^3}, \quad \tilde{S} = \sqrt{S_{ij}S_{ij}}$$

$$U^* \equiv \sqrt{S_{ij}S_{ij} + \tilde{\Omega}_{ij}\tilde{\Omega}_{ij}}, \quad \tilde{\Omega}_{ij} = \Omega_{ij} - 2\epsilon_{ijk}\omega_k, \quad \Omega_{ij} = \bar{\Omega}_{ij} - \epsilon_{ijk}\omega_k$$

- $\bar{\Omega}_{ij}$: mean rotation rate viewed in rotating reference frame
- ω_k : angular velocity of rotating reference frame
- ϵ_{ijk} : Levi-Civita symbol
- $2\epsilon_{ijk}\omega_k$: Omitted in OpenFOAM(not compatible with MRF or Sliding Mesh)

Realizable k - ε 난류 모델

- 특징

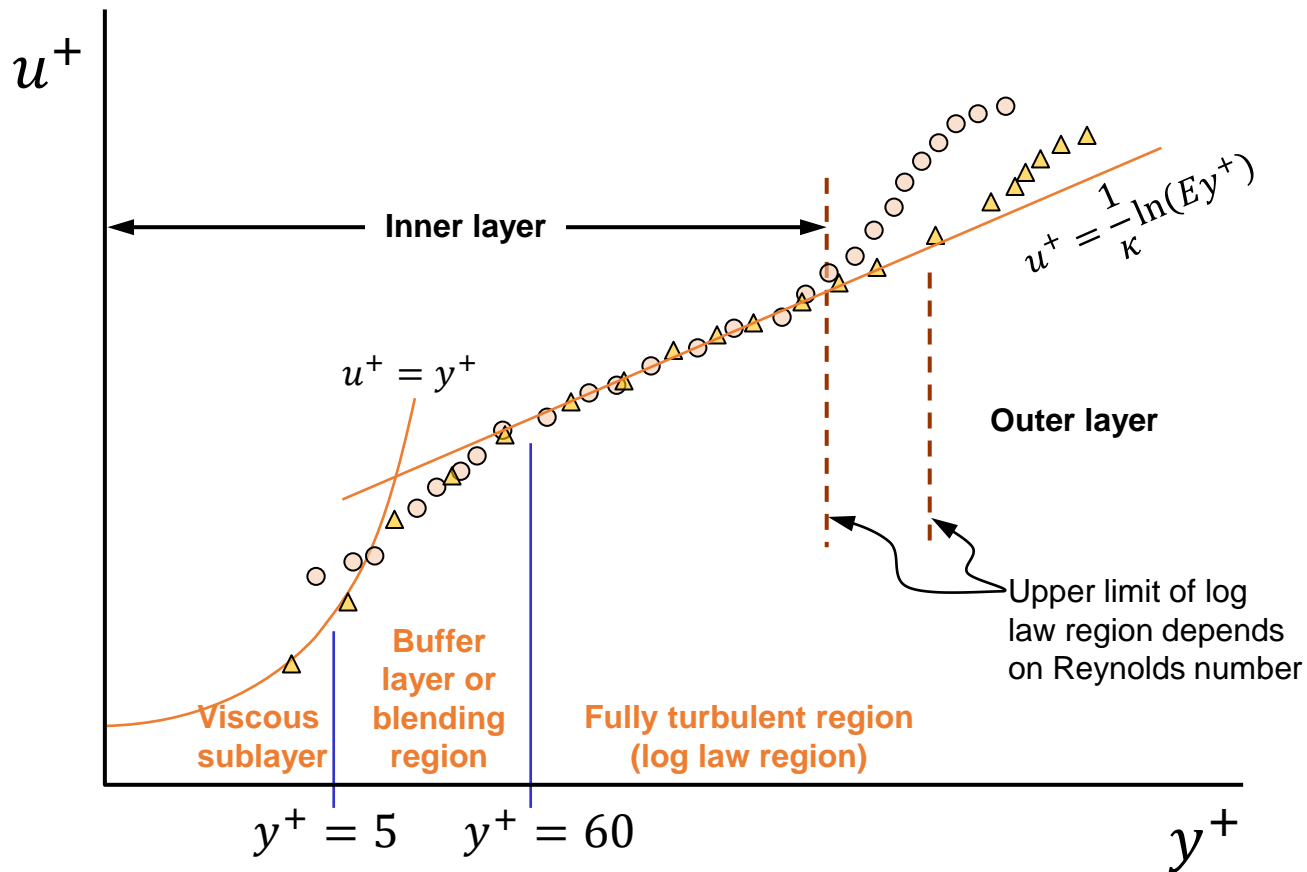
- Standard k - ε 모델에 비해 jet 유동의 spreading rate를 잘 예측
- 유동박리(separation) 또는 역압력구배(adverse pressure gradient)가 존재하는 경계층 유동을 더 잘 예측
- 회전(Rotation), 재순환(recirculation) 유동을 더 잘 예측

- 한계

- Standard k - ε 모델과 마찬가지로 High-Re 난류 유동에 적용되는 모델이므로 벽면 근처의 유동을 예측하기에 적합하지 않음

Realizable k - ε 난류 모델의 한계

- The Universal Law of The Wall
 - 압력구배가 없는 경계층내의 속도분포는 다음과 같이 일반화 된다.



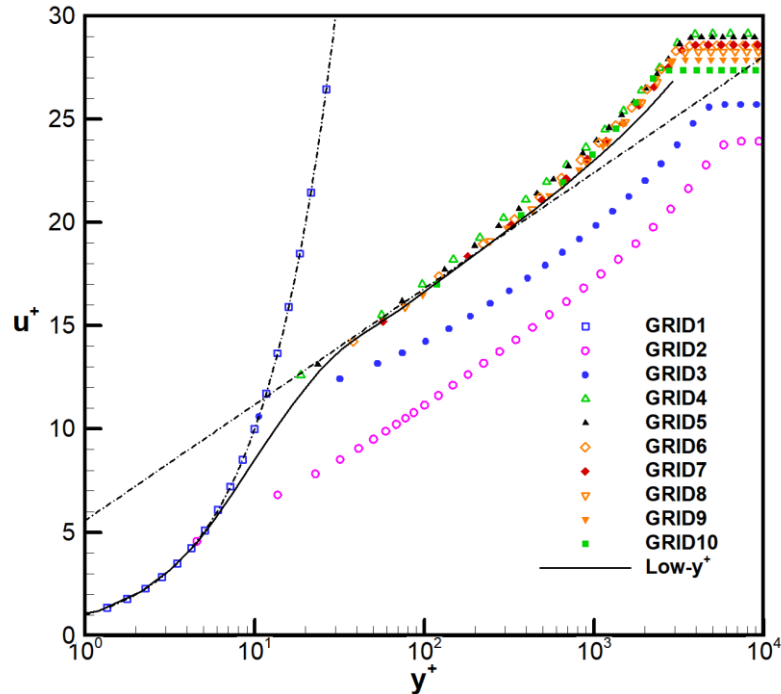
$$u^+ = \frac{u}{u_\tau}$$

$$y^+ = \frac{u_\tau y}{\nu}$$

$$u_\tau = \sqrt{\frac{\tau_w}{\rho}}$$

Realizable $k-\varepsilon$ 난류 모델의 한계

- 벽근처 첫번째 격자의 높이 (y^+) 에 따른 속도분포 계산
 - 첫번째 격자의 y^+ 가 30 미만인 격자계에서는 속도분포를 올바르게 예측할 수 없음



평판 위를 흐르는 난류 유동에 대한 OpenFOAM 해석 결과

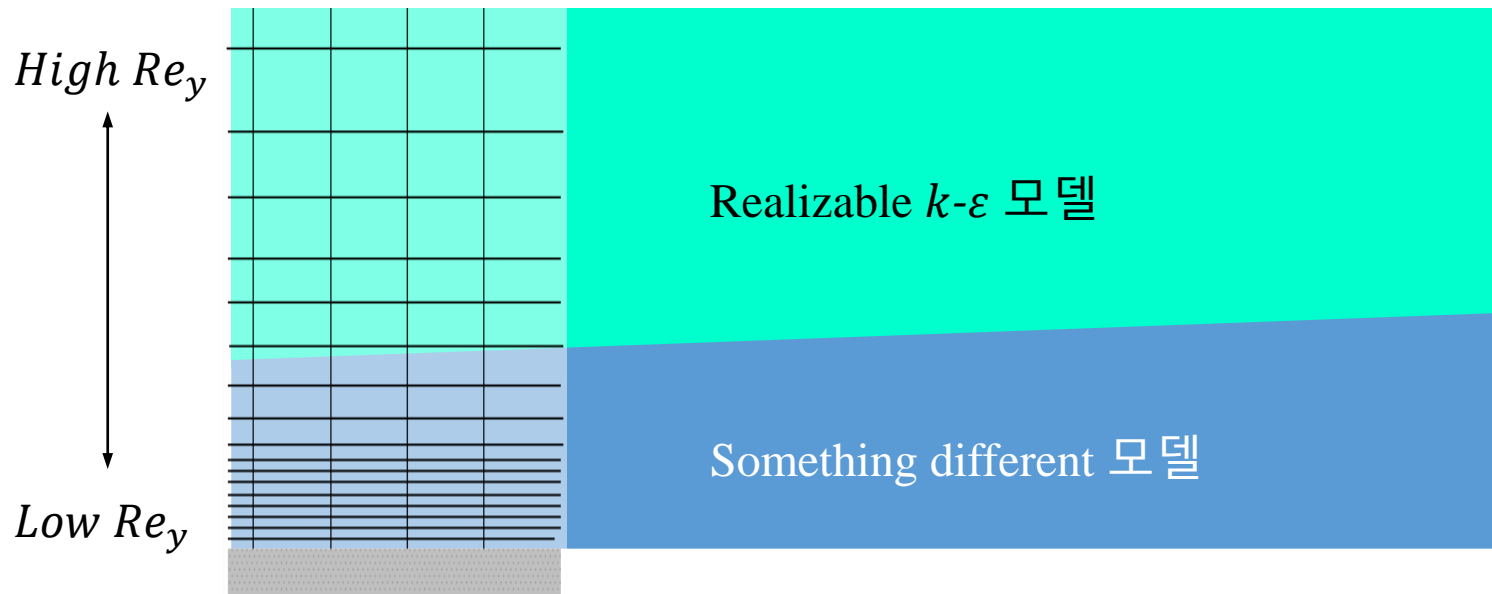
Two-Layer Realizable $k-\varepsilon$ 난류 모델

- y^+ 가 30 미만인 격자계에서 경계층 내의 속도분포를 올바르게 예측할수 없는 Realizable $k-\varepsilon$ 모델에 대한 개선 모델
- 경계층을 높이방향으로 두 영역으로 나누어 각 영역에 적절한 난류모델을 적용는 방식
 - 대표적인 상용코드(STAR-CCM+, FLUENT 등)에 구현되어 있음
 - Standard OpenFOAM에는 구현되어 있지 않음

Two-Layer Realizable k - ε 난류 모델

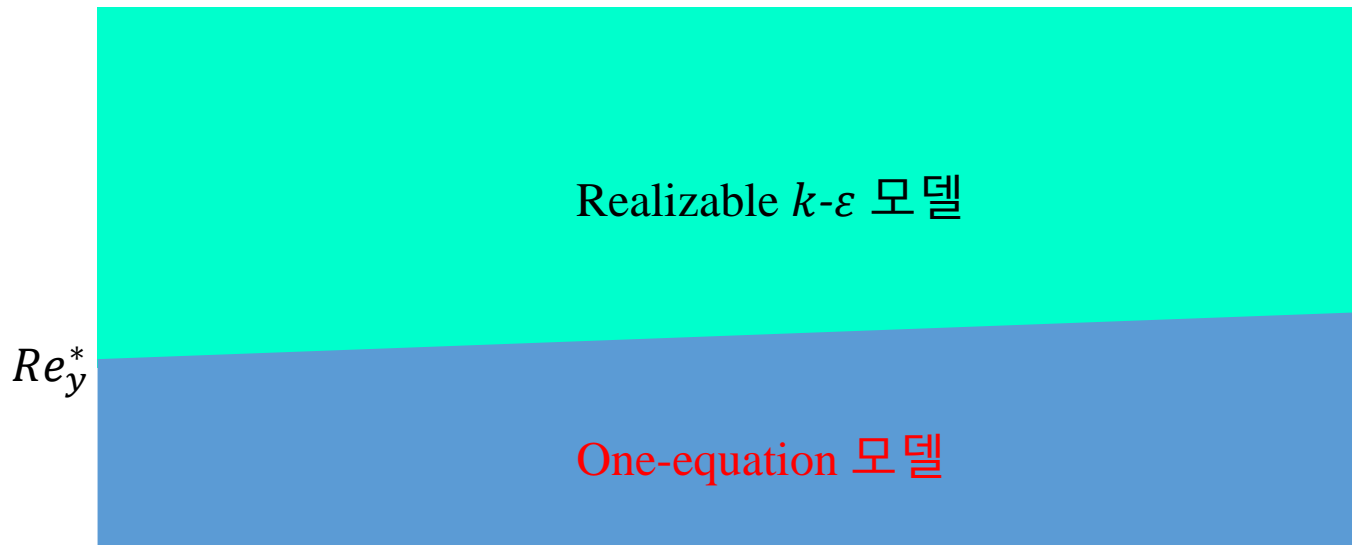
- Two-Layer formulation

- 경계층을 $Re_y \left(= \frac{y\sqrt{k}}{\nu} \right)$ 를 기준으로 두 층으로 나누어 서로 다른 난류모델 적용



Two-Layer Realizable k - ε 난류 모델

- Wolfstein Two-Layer Model
 - 부력이 지배적이지 않은 유동에 적합
 - 대표적인 상용코드에서 공통적으로 사용
 - Re_y^* ($Re_y = 60 \sim 200$) 를 기준



Wolfstein Two-Layer Realizable k - ε 난류모델

- 지배방정식
 - $Re_y > Re_y^*$ 일 경우
 - Realizable k - ε 모델의 지배방정식 사용 (식 (1) 및 식 (2))
 - $Re_y < Re_y^*$ 일 경우
 - k -equation
 - Realizable k - ε 모델의 k -equation 과 동일 (식 (1))
 - **ε -equation**
 - **Algebraic relation with k using length scale function l_ε**

$$\varepsilon = \frac{k^{3/2}}{l_\varepsilon} \quad (5)$$

$$l_\varepsilon = yC_l^* [1 - e^{-Re_y/A_\varepsilon}]$$

$$C_l^* = \kappa C_\mu^{-3/4}, \quad A_\varepsilon = 2C_l^*$$

Wolfstein Two-Layer Realizable k - ε 난류모델

- 난류점성계수
 - $Re_y > Re_y^*$ 일 경우
 - Realizable k - ε 모델의 난류점성계수 모델식을 사용 (식 (3))
 - $Re_y < Re_y^*$ 일 경우
 - **Algebraic relation with k using length scale function l_μ**

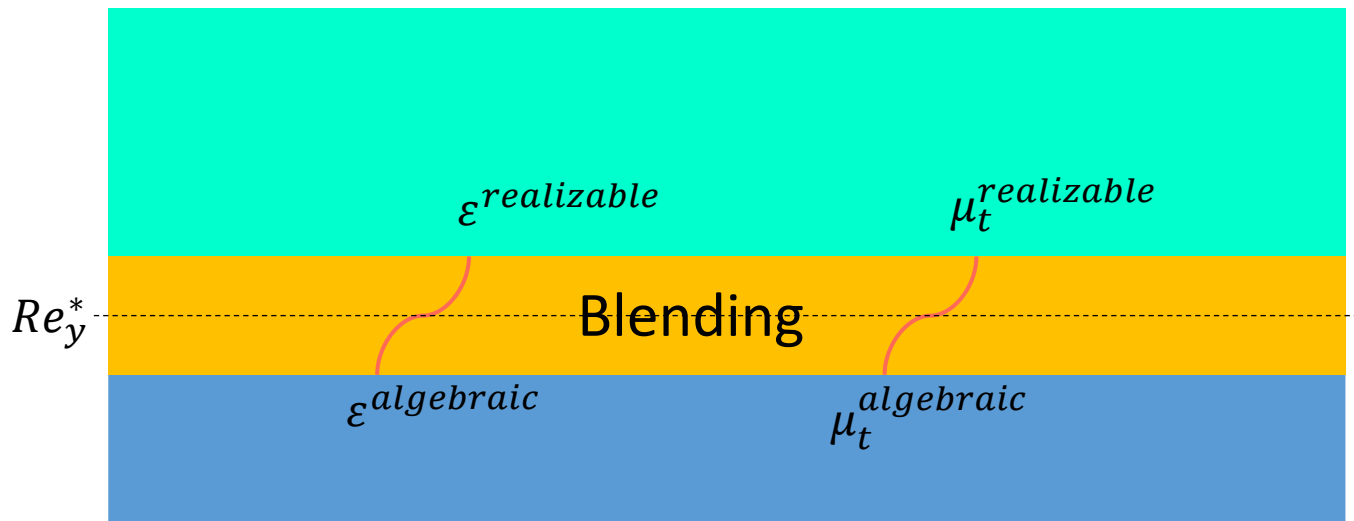
$$\mu_t = \rho C_\mu l_\mu \sqrt{k} \quad (6)$$

$$l_\mu = y C_l^* [1 - e^{-Re_y/A_\mu}]$$

$$C_l^* = \kappa C_\mu^{-3/4}, \quad A_\mu = 70$$

Wolfstein Two-Layer Realizable k - ε 난류모델

- ε 및 μ_t 의 blending
 - Re_y^* 의 경계에서 갑작스런 해의 변화를 방지하기 위해 blending 필요



- Blending factor, λ

$$\lambda = \frac{1}{2} \left[1 + \tanh \left(\frac{Re_y - Re_y^*}{A} \right) \right]$$

$$A = \frac{|\Delta Re_y|}{\tanh^{-1}(0.98)}, \quad |\Delta Re_y| = 3 \sim 40$$

Wolfstein Two-Layer Realizable k - ε 난류모델

- Blending factor를 적용하여 표현한 μ_t
 - 난류점성계수 (μ_t) 는 k 와 ε 에 대한 선형대수 방정식을 풀어서 얻은 해를 이용하여 계산 되기 때문에 해석 영역의 모든 격자에서 아래와 같은 식을 적용하여 계산하면 된다.

$$\mu_t = \lambda \mu_t^{realizable} + (1 - \lambda) \mu_t^{algebraic}$$

- Blending factor를 적용하여 표현한 ε
 - 이산화한 방정식 레벨의 blending
 - ε 의 경우는 선형대수 방정식을 풀어서 구해지는 값이므로 선형대수 방정식으로 구성되는 행렬의 모든 요소에 blending factor를 적용하여 표현해야 한다.

Discretization of Blended ε -equation

- $Re_y > Re_y^*$ 일 경우

$$\frac{a_P}{\alpha} \varepsilon_P^* + \sum_N a_N \varepsilon_N^* = b + \frac{1-\alpha}{\alpha} a_P \varepsilon_P^{n-1} \quad (7)$$

a_P : diagonal coefficient of discretize equation

a_N : off-diagonal coefficient of discretize equation

b : source vector component of discretize equation

α : under-relaxation factor

$\varepsilon_P^*, \varepsilon_N^*$: solution on current iteration for cell P and it's neighbour N

ε_P^{n-1} : solution on previous iteration for cell P

- $Re_y < Re_y^*$ 일 경우

$$\varepsilon_P^* = \alpha(\varepsilon_P^s - \varepsilon_P^{n-1}) + \varepsilon_P^{n-1} \quad (8)$$

$\varepsilon_P^s = \frac{k^{3/2}}{l_\varepsilon}$: algebraic relation with current solution of k

Discretization of Blended ε -equation

- 식(7)과 식(8)로부터

$$\varepsilon_P^{realizable} = \frac{\alpha}{a_P} \left(b + \frac{1-\alpha}{\alpha} a_P \varepsilon_P^{n-1} - \sum_N a_N \varepsilon_N^* \right) \quad (9)$$

$$\varepsilon_P^{algebraic} = \alpha(\varepsilon_P^s - \varepsilon_P^{n-1}) + \varepsilon_P^{n-1} \quad (10)$$

- Blending factor, λ 를 이용해 식(9)와 식(10)을 결합하면 다음과 같고,

$$\begin{aligned} \varepsilon_P^* &= \lambda \varepsilon_P^{realizable} + (1-\lambda) \varepsilon_P^{algebraic} \\ &= \lambda \left[\frac{\alpha}{a_P} \left(b + \frac{1-\alpha}{\alpha} a_P \varepsilon_P^{n-1} - \sum_N a_N \varepsilon_N^* \right) \right] + (1-\lambda) [\alpha(\varepsilon_P^s - \varepsilon_P^{n-1}) + \varepsilon_P^{n-1}] \end{aligned}$$

- 위의 식을 정리하면 다음과 같이 blended ε -equation 의 이산화된 식을 얻을 수 있다.

$$\frac{a_P}{\alpha} \varepsilon_P^* + \lambda \sum_N a_N \varepsilon_N^* = \lambda \left(b + \frac{1-\alpha}{\alpha} a_P \varepsilon_P^{n-1} \right) + (1-\lambda) a_P \left(\varepsilon_P^s + \frac{1-\alpha}{\alpha} \varepsilon_P^{n-1} \right) \quad (11)$$

Implementation into OpenFOAM

- Realizable k - ε 난류모델의 소스코드
 - 식 (7)과 같은 형태로 ε -equation 을 이산화 하는 코드

```
// Dissipation equation
tmp<fvScalarMatrix> epsEqn
(
    fvm::ddt(alpha, rho, epsilon_)
  + fvm::div(alphaRhoPhi, epsilon_)
  - fvm::laplacian(alpha*rho*DepsilonEff(), epsilon_)
==
    C1*alpha*rho*magS*epsilon_
  - fvm::Sp
    (
        C2_*alpha*rho*epsilon_/(k_ + sqrt(this->nu()*epsilon_)),
        epsilon_
    )
  + epsilonSource()
  + fvOptions(alpha, rho, epsilon_)
);

epsEqn.ref().relax();
```


Implementation into OpenFOAM

- Realizable k - ε 난류모델의 소스코드를 활용
 - 식 (11)과 같은 형태로 ε -equation 을 이산화 하기 위해 이산화 함수들(`fvm::ddt`, `fvm::div`, `fvm::laplacian` 등)을 재정의 하기 보다는 식 (7)의 형태로 이산화해서 얻은 행렬시스템의 요소들을 식 (11)의 형태로 수정하는 방식으로 구현

```
// Dissipation equation
tmp<fvScalarMatrix> epsEqn // 식(7)의 형태로 이산화된 행렬시스템 객체
(
    // 생략
);

// Blend with one-equation turbulence model near the wall
{
    dimensionedScalar Aeps = 2.0*kappa_/Cmu75_;
    volScalarField::Internal leps
    (
        y_()*kappa_/Cmu75_*(1 - exp(-Rey_/Aeps))
    );
    volScalarField::Internal es(pow(k_(), 1.5)/leps);

    blendAndRelax(epsEqn.ref(), lambda_, es);
}
```

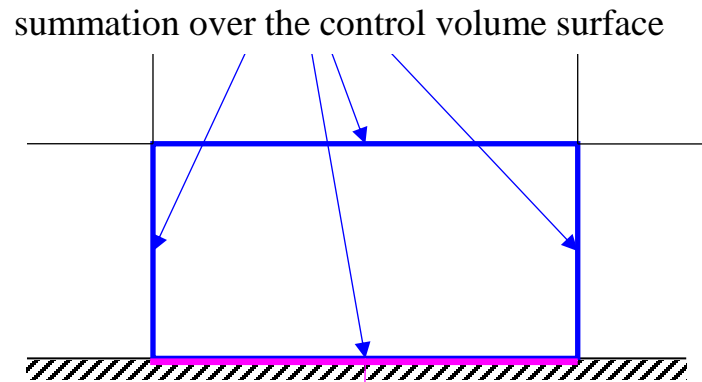
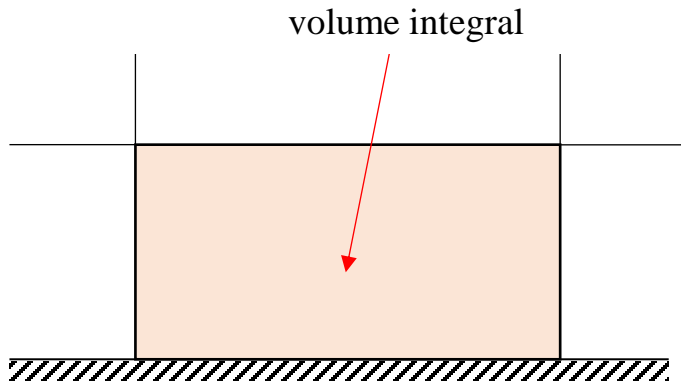
Implementation into OpenFOAM

- Two-Layer Realizable k - ε 모델이 올바르게 구현되기 위해서는 다음과 같은 벽면 경계조건도 적절하게 구현되어야 한다.
 - 운동량보존 방정식에 대한 벽면 경계조건
 - k -equation 에 대한 벽면 경계조건
 - ε -equation 에 대한 벽면 경계조건

Implementation into OpenFOAM

- 운동량보존 방정식에 대한 벽면 경계조건
 - 확산항 이산화에 의해 벽면 격자에 momentum source로 작용
 - 층류유동이거나 벽면 격자가 점성저층(viscous sublayer) 안에 있을 경우에는 no-slip 조건 이외에 별도의 경계조건 처리가 필요하지 않음

$$\int \nabla \cdot \bar{\tau} dV = \oint \bar{\tau}_f \cdot d\vec{S} \approx \sum_f \bar{\tau}_f \cdot \vec{S}_f = \sum_f [(\mu + \mu_t) \nabla \vec{U}]_f \cdot \vec{S}_f$$



≈

$\mu_t = 0$ for laminar or in viscous sublayer

- ❖ 하첨자 f 는 control volume surface에서의 값을 나타냄
- ❖ 하첨자 w 는 벽면에서의 값을 나타냄

$$\bar{\tau}_f \cdot \vec{S}_f = (\mu \nabla \vec{U})_f \cdot \vec{S}_f \Leftrightarrow \tau_w \cdot \vec{S}_w = (\mu + \mu_t)_w \left(\frac{du}{dy} \right)_w S_w$$

momentum source

Implementation into OpenFOAM

- 운동량보존 방정식에 대한 벽면 경계조건
 - 난류 유동에서 벽면 격자가 점성저층보다 위에 있을 경우
 - $\tau_w = (\mu + \mu_t)_w \left(\frac{du}{dy} \right)_w$ 의 식이 성립하지 않음
 - 이 경우 확산항 이산화에 의해서 벽면 격자에 올바른 momentum source가 적용되기 위해서는 벽면 격자에 한해서만 이산화 방법을 변경하거나 이미 이산화 된 행렬시스템에서 벽면 격자에 적용된 생성항을 수정해야 함
 - OpenFOAM에서는 운동량 보존방정식의 이산화 과정에서 벽면 격자에서만 다른 방법으로 처리를 하는 번거로움을 피하기 위해 벽면의 난류점성계수 $(\mu_t)_w$ 를 정의하여 사용
 - $(\mu_t)_w$ 는 운동량보존방정식에 대한 경계조건을 부여하는 수치적 방법일 뿐 물리적인 의미는 없음

Implementation into OpenFOAM

- 운동량보존 방정식에 대한 벽면 경계조건

- Spalding's formula

- Viscous-sublayer, buffer-layer 및 log-layer의 속도분포를 하나의 식으로 통합

$$y^+ = u^+ + \frac{1}{E} \left[e^{\kappa u^+} - 1 - \kappa u^+ - \frac{(\kappa u^+)^2}{2} - \frac{(\kappa u^+)^3}{6} \right] \quad (12)$$

$$\Rightarrow y = \frac{\nu u}{u_\tau^2} + \frac{\nu}{u_\tau E} \left[e^{\kappa u/u_\tau} - 1 - \frac{\kappa u}{u_\tau} - \frac{1}{2} \left(\frac{\kappa u}{u_\tau} \right)^2 - \frac{1}{6} \left(\frac{\kappa u}{u_\tau} \right)^3 \right]$$

- 위의 식에서 Newton-Raphson method를 이용해 u_τ 를 구하면 확산항 이산화에 의해 표현된 식으로부터 다음과 같이 $(\mu_t)_w$ 를 표현할 수 있다.

$$\tau_w = \rho u_\tau^2 = (\mu + \mu_t)_w \left(\frac{du}{dy} \right)_w$$

$$\therefore (\mu_t)_w = \frac{\rho u_\tau^2}{\left(\frac{du}{dy} \right)_w} - (\mu)_w \quad \text{or} \quad (\nu_t)_w = \frac{u_\tau^2}{\left(\frac{du}{dy} \right)_w} - (\nu)_w$$

Implementation into OpenFOAM

- k -equation 에 대한 벽면 경계조건
 - 난류 유동에서 벽면 격자가 점성저층보다 위에 있을 경우
 - 벽면 격자에서 k -equation 의 생성항, $G_k = \mu_t S^2$, 의 식이 성립하지 않음
 - 벽면에 대한 경계조건을 zero-gradient 로 적용하여 k -equation 을 이산화 한 후 벽면 격자에 해당하는 생성항 요소를 다음과 같이 수정

$$G_k = g\mu_t S^2 + (1 - g)\rho u_\tau^2 \frac{\partial u}{\partial y}$$

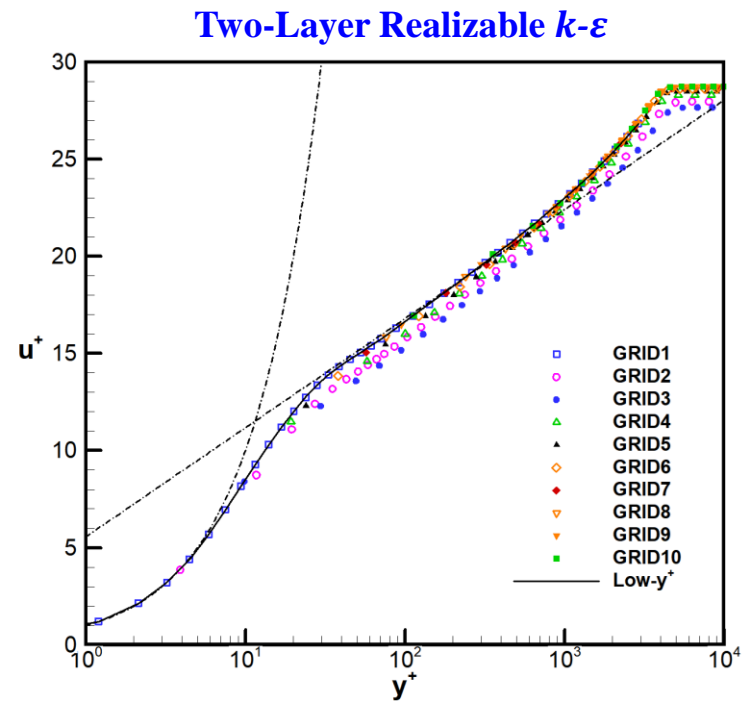
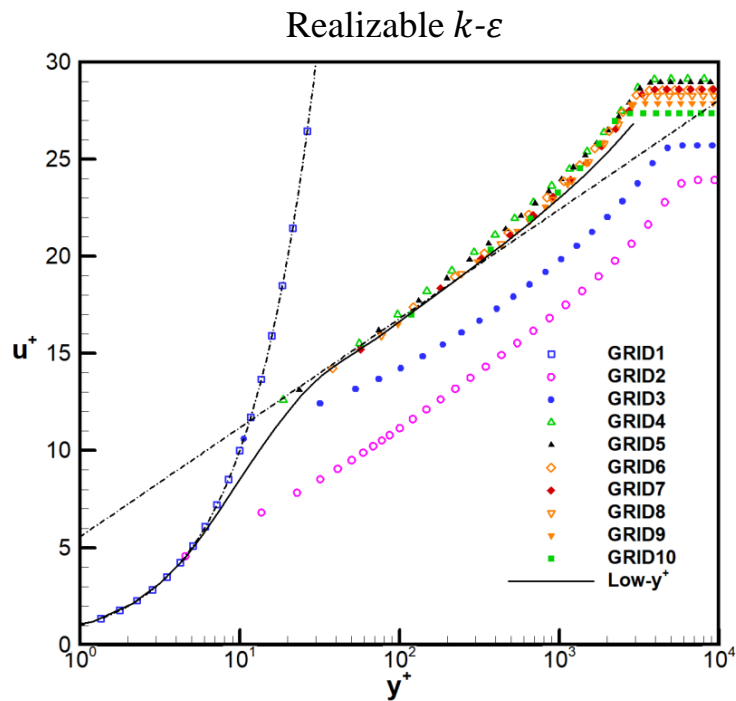
$$\text{where } g = \exp\left(-\frac{Re_y}{11}\right)$$

- ε -equation 에 대한 벽면 경계조건
 - 난류 유동에서 벽면 격자가 점성저층보다 위에 있을 경우
 - 벽면에 대한 경계조건을 zero-gradient 로 적용하여 ε -equation 을 이산화 한 후 벽면 격자에 해당하는 행렬요소의 값을 다음 식과 같이 수정
 - 행렬시스템을 inversion하여 해를 구하여도 벽면 격자에 해당하는 해는 아래 식으로 주어진 값을 유지하도록 함

$$\varepsilon_p = g \frac{2\nu k}{y^2} + \frac{k^{3/2}}{l_\varepsilon}$$

Results

- 개발된 Two-Layer Realizable $k-\varepsilon$ 난류모델을 이용한 벽근처 첫번째 격자의 높이 (y^+) 에 따른 속도분포 계산 검증
 - y^+ 30 미만의 격자에서도 속도분포를 적절히 예측함을 확인



평판 위를 흐르는 난류 유동에 대한 OpenFOAM 해석 결과